



# Limites de détection des mycotoxines par bandelettes à flux laminaire : Une critique





. James Curtin

3et Furong Tian 1,2,\*



- École des sciences alimentaires, santé environnementale, Université technologique de Dublin, D07 ADY7 Dublin, Irlande; d20127084@mytudublin.ie (XZ); christine.oconnor@tudublin.ie (CMO)
- Institut de recherche FOCAS, Université technologique de Dublin, D08 CKP1 Dublin, Irlande; hugh.bvrne@tudublin.ie
- Collège d'ingénierie et d'environnement bâti, Université technologique de Dublin, D01 K822 Dublin, Irlande ; james.curtin@tudublin.ie \*

Correspondance: furong.tian@tudublin.ie

Résumé : Les mycotoxines sont des produits métaboliques secondaires des champignons. Ils sont de nature toxique, cancérigène et mutagène et constituent une menace sérieuse pour la santé des humains et des animaux, provoquant des maladies graves, voire la mort. Les méthodes rapides, simples et peu coûteuses de détection des mycotoxines sont d'une immense importance et très demandées dans l'industrie alimentaire et des boissons, ainsi que dans l'agriculture et la surveillance environnementale. À cette fin, les bandelettes immunochromatographiques à flux latéral (ICST) ont été utilisées. été largement utilisé dans la sécurité alimentaire et la surveillance environnementale. La littérature à ce jour décrivant le développement des ICST pour la détection de différents types de mycotoxines en utilisant différents nanomatériaux, tailles de nanoparticules et réplicats a été examinée dans le but d'identifier les déterminants les plus importants de la limite de détection (LOD). Il s'avère que la taille des particules et le type de matériaux contribuent de manière significative à la détermination de la LOD. Les tailles de nanoparticules utilisées dans la plupart des études se situent entre 15 et 45 nm et il a été démontré que les ICST à base de nanoparticules d'or présentent la LOD la plus faible. Les perspectives de développement futur potentiel pour réduire les LOD des ICST sont également discutées.

Mots clés : nanoparticules ; la taille des particules; les mycotoxines ; l'aflatoxine; toxines fusarium



Citation: Zhao, X.: Byrne, HJ: O'Connor, CM: Curtin, J.: Tian, F. Limites de détection des mycotoxines par les bandelettes à flux laminaire : une revue. Appl Nano2022, 3, 91-101. https:// doi.org/10.3390/applnano3020006

Rédacteur académique : Angelo Maria Taglietti

Accepté: 6 avril 2022 Publié: 11 avril 2022

Recu: 20 mars 2022

Note de l'éditeur : MDPI reste neutre en ce qui concerne les revendications juridictionnelles dans les cartes publiées et les affiliations institutionnelles.



Copyright: © 2022 par les auteurs. Licencié MDPI, Bâle, Suisse. Cet article est un article en libre accès distribué selon les termes et conditions des Creative Commons Licence d'attribution (CC BY) (https:// creativecommons.org/licenses/by/ 4.0/).

## 1. Introduction

Les mycotoxines sont des métabolites secondaires naturels toxiques produits par des champignons, par exemple Aspergillus et Fusarium, que l'on trouve couramment sur les produits agricoles au champ ou pendant le stockage. Ces toxines provoquent des intoxications alimentaires et alimentaires, et beaucoup sont cytotoxiques, cancérigènes, mutagènes ou immunosuppressives [1,2]. L'aflatoxine est produite par Aspergillus (A.) flavus et A. parasiticus et existe sous trois types principaux : B1, B2, G1, et ses effets dangereux ont été bien documentés [1]. Les toxines de Fusarium sont produites par Fusarium et sont classées en trois grands groupes : la zéaralénone (ZEN), les fumonisines et les trichothécènes [2]. Le ZEN est un composé œstrogénique non stéroïdien ayant un effet œstrogénique toxique, détruisant le système reproducteur des animaux, entraînant par exemple un syndrome œstrogénique chez le porc, malgré sa faible toxicité après administration orale [3]. Les fumonisines ont une forte similitude structurelle avec la sphinganine et provoquent des effets toxiques sur les æstrogènes qui peuvent conduire au cancer [4]. Les fumonisines peuvent être divisées en quatre sous-groupes principaux, A, B, C et P, et un sous-type de fumonisine B, la fumonisine B1 (FB1), est la plus toxique et la plus abondante de toutes les fumonisines [5]. Les trichothécènes sont une classe de sesquiterpènes et ont également des effets toxiques sur les œstrogènes sur les performances de reproduction des animaux et des humains. Les trichothécènes comportent quatre sous-groupes principaux : A, B, C et D, et le sous-type de trichothécènes A (T-2) est le plus courant, présentant un danger potentiel pour la santé humaine dans le monde entier [6].

Les mycotoxines apparaissent généralement dans les cultures et les produits alimentaires tels que le maïs, le sorgho, le blé, l'avoine, le riz, le soja, le tournesol, les graines de coton, les piments, le poivre noir, la coriandre, le curcuma,

le gingembre, l'arachide, la pistache, l'amande, la noix, la noix de coco, la noix du Brésil, les fruits secs de la vigne, le vin et le jus de raisin et la liqueur de riz, principalement en raison de la teneur élevée en humidité et des températures propices à la croissance des champignons [7]. Le séchage au champ est une pratique acceptée depuis le début de l'agriculture commerciale, mais il dépend du soleil et du vent, et un séchage mécanique est souvent nécessaire pour réduire la teneur en humidité d'une culture à 12-14 % afin de ralentir la croissance des champignons [8]. La teneur en humidité et la concentration en mycotoxines des grains sont mesurées en continu, depuis la récolte des grains jusqu'à leur vente aux consommateurs [9]. Les méthodes quantitatives les plus courantes sont les tests au four manuel et les tests avec humidimètre [10]. En raison des risques pour la santé humaine et animale, des autorités telles que la Commission européenne ou la US Grain Inspection, Packers and Stockyards Administration (GIPSA) ont tenté de résoudre le problème des mycotoxines en adoptant des limites réglementaires. Des réglementations sont en vigueur, par exemple, pour les aflatoxines et les toxines fusarium dans certaines denrées alimentaires (CE 1881/2006) [11], et il existe des recommandations concernant les niveaux maximaux de mycotoxines dans les aliments pour animaux (CE (2006/576/CE)) [12]. Parmi les aflatoxines, l'aflatoxine B1 (AFB1) est la plus toxique en tant que puissant cancérigène et de nombreux pays ont mis en œuvre des limites maximales de résidus (LMR) d'AFB1 [13]. En Chine, la « GB 2761-2017 Food Mycotoxin Limit » fixe strictement la LMR d'AFB1 dans le blé, la farine de blé, le maïs et la farine de maïs à 20 ng/mL [13]. Parmi toutes les toxines fusarium, les ZEN sont les plus fortement associés à des effets toxiques chroniques et mortels chez les animaux et les humains [5,6]. En Italie, la LMR de ZEN dans les céréales et produits céréaliers est de 100 ng/mL [14], et de 50 ng/mL en Australie [15].

92

Actuellement, les plateformes de tests portables rapides pour la détection et la quantification des mycotoxines potentiellement dangereuses dans la production alimentaire et des boissons sont très limitées. Les techniques les plus utilisées pour détecter les AFL sont la chromatographie sur couche mince (CCM) et la chromatographie liquide haute performance (HPLC). Cependant, ces méthodes nécessitent une préparation approfondie des échantillons, des instruments coûteux et une opération professionnelle. Alternativement, un test immuno-enzymatique (par exemple ELISA) a été développé avec succès pour les AFL [16]. Cependant, l'ELISA nécessite également des étapes d'incubation et de lavage qui sont principalement confinées aux laboratoires [17]. Ainsi, il existe un besoin de techniques de test rapides, rentables et précises pour la détection définitive des empreintes digitales des marqueurs de maladies et environnementaux à de faibles concentrations.

Les technologies telles que les lecteurs de microplaques sont basées sur des méthodologies approximatives « non traçables » et reposent sur une préparation et un nettoyage fastidieux des échantillons [18,19]. Les techniques de tests existantes , telles que les tests immunitaires et moléculaires, par exemple les approches ELISA et de réaction en chaîne par polymérase, permettent une détection précise et sensible des mycotoxines [ 19-21]. Cependant, ces méthodes demandent beaucoup de travail et de temps (nécessitant normalement des dizaines de personnes et plusieurs heures) [20-23].

Les méthodes alternatives et plus rapides ne sont pas précises et donnent souvent des résultats faussement positifs/négatifs [24]. Il existe donc un besoin de techniques de test rapides, rentables et précises pour la détection des mycotoxines afin de garantir la sécurité et la qualité des aliments. La microfluidique , le laboratoire sur puce, la nanospectroscopie intelligente, le laboratoire dans une fibre et les technologies de capteurs font partie des interfaces technologiques clés qui ont été optimisées de la micro à la nano- échelle [24-26]. Les technologies de laboratoire sur puce microfluidique/optofluidique sont une solution couramment utilisée pour la détection des mycotoxines, en particulier les tests sur le lieu d'intervention ; intégrer des modules fonctionnels couramment utilisés dans les laboratoires sur une petite puce, pour les tests de biomarqueurs [26,27]. La technologie offre une caractéristique unique d'un rapport surface de détection/volume élevé pour un temps d'analyse court, permettant des tests de diagnostic complexes [27,28]. Cependant, les « goulots d'étranglement d'interconnexion et de lecture » et l'évacuation de la chaleur sont deux défis largement reconnus limitant les performances [29].

Les bandelettes immunochromatographiques à flux latéral (ICST) ont reçu une attention croissante pour l'analyse qualitative et quantitative dans différents domaines [17]. Par exemple, les bandelettes de désoxynivalénol de Neogen Corp ont été largement utilisées dans le domaine de la sécurité alimentaire et de la surveillance environnementale [30]. Les structures sandwich sont généralement utilisées dans la détection à grande échelle, tandis que les immunoessais sensibles à base magnétorésistive géante sont utilisés pour la détection multiplex des mycotoxine Différents nanomatériaux ont été conjugués à des anticorps pour améliorer les limites de détection

susequeny evoe sgncan eor o nvesgang e eec o core-s nanocomposites sur les propriétés des ICST [32]. Cependant, ces détections ne fournissent que des résultats qualitatifs (positifs ou négatifs) ou semi-quantitatifs de la concentration en analyte, et les ICST ne pouvaient pas satisfaire aux exigences des applications [32]. Par conséquent, de nombreux dispositifs ICST fournissant des tests d'analyse quantitative ont été développés par la suite, ce qui a amélioré les résultats pour les mycotoxines. Delmulle et al. (2005) ont développé des ICST avec des nanoparticules d'or de 40 nm

ont développé des ICST avec des nanoparticules d'or de 40 nm spécificité pour la détection et la quantification des mycotoxines (normalement 1 à 20 ng/ pour la détection de l'aflatoxine B1 dans l'alimentation des porcs [7]. Liao et Li (2010) ont ensuite consacré Cependant, en raison de l'encombrement de leurs systèmes de lecture, leurs applications constituent un effor important pour étidier l'effet des nanocomposites argent-or cœur-coquille sur le lecture de leurs applications constituent un effor important pour étidier l'effet des nanocomposites argent-or cœur-coquille sur le le leurs applications constituent un effor important pour étidier le leurs nanocomposites argent-or cœur-coquille sur le le suit des des plotaties des informations semi-countitaites. Le sur le le concentration des les protations des informations semi-countitaites les sur les dévelops de l'analyte, et exigences d'applications pratiques [32]. Par conséquent, beaucoup
Le marché se développe rapidement et les outils de diagnostic portables fournissent un o Des dispositifs l'EST permettant des tests quantitatirs de concentration d'analytes ont ete par la suite

augustion et a développe rapidement et les outils de diagnostic portables fournissent un o Des dispositifs l'est et augustion des estatements de les développe et a le remplacement d'un augustion et le par la suite de développe et a le remplacement d'un appareil mobile seraient avantageux, car ils satisferaient aux exigences des appareils portables.

Incite de l'agrence de l'entre l'opportunité d'augmenter la disponibilité des soins de santé et diminuer les coûts [36]. Cet article passe en revue les développements de la technologie des STIC pour différents types de mycotoxines, influence des différents matériaux pour les nanoparticules, différentes tailles

Méthodes de recherche de nanoparticules, et la réplication sur la limite de détection (LOD) des mycotoxines, et leurs adaptation aux systèmes de lecture mobiles et/ou portables.

Les informations ont été collectées dans Google Scholar et Science Direct avec la cotoxine k, le test

de Mathdelette et 9a hers be. Vingt-cinq articles évalués par des pairs de 2006 à 2020 ont été analysés pour

identificollection tapkus tapk

Lœutrecumentosistelismaté icriduemetentriées youttétémes syamblées Datayphes de ibly code ou since, thy previou de plus Le document est discuté ici. Les données ont été rassemblées par type de mycotoxine, type de matériaux pour pour les nanoparticules, la taille des particules (nm), le nombre de répétitions et l'année (tableau 1 nanoparticule, taille des particules (nm), nombre de répétitions et année (Tableau 1).

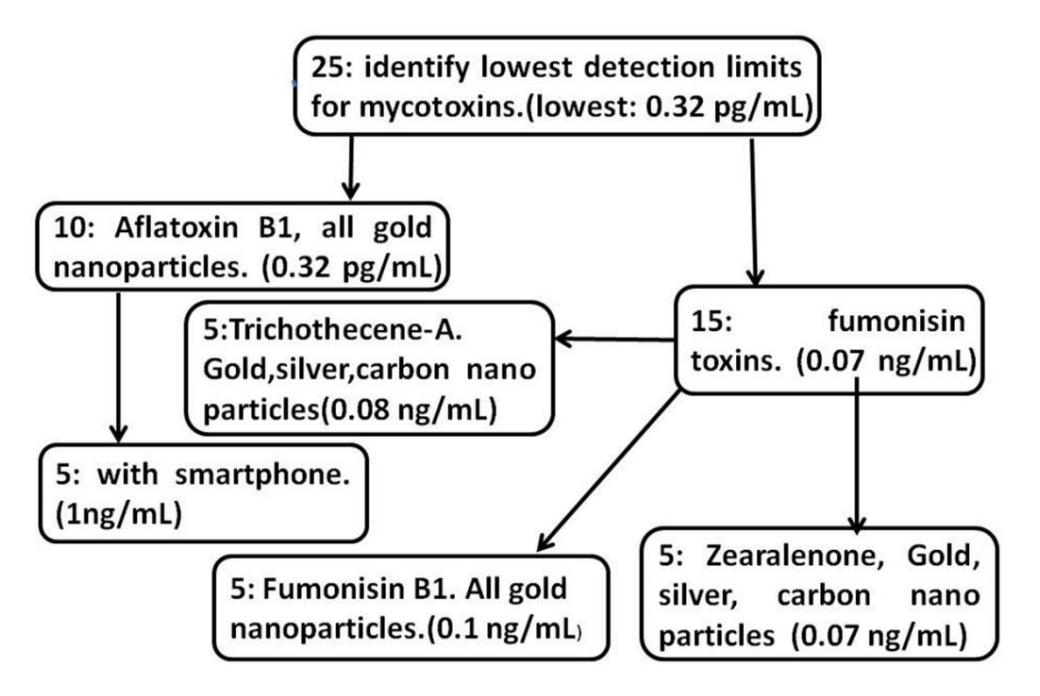


Figure 1. Hiérarchie des analyses des articles traitant des limites des différentes mycotoxines.

Figurent ly dérent et de Dunn (post-hoc) et la régression multilinéaire ont été utilisés pour analyser la paramètres déterminants significatifs de la LOD.

Tableau 1. Papiers avec limite de détection des mycotoxines.

Taper	Particule	Taille (nm)	Année	Réplique	Standard Déviations	Coefficient de Variation (%)	LOD (ng/ml)	Référence
AFB1	Or	n/A	2013	n/A	n/A	n/A	0,1	[dix]
	Or + téléphone	14	2019	6	0,01	2.7	0,3	[36]
	Or	45	2015	6	0,09	9h47	0,00032	[37]
	Or	n/A	2014	n/A	n / A	n/A	0,03	[38]
	Or + téléphone	30	2019	6	n / A	1,5	2	[39]
	Or	25	2006	11	0,44	10.4	2.5	[40]
	Or	n/A	2013	3	n/A	n/A	2	[41]
	Or + téléphone	n/A	2019	9	n/A	n/A	2	[42]
	Or + téléphone	1.4	2017	5	n/A	n/A	3	[43]
	Or + téléphone	40	2013	5	n/A	n/A	5	[44]
FB1	Or	n/A	2007	12	0,3	6,67	0,1	[45]
	Or	na	2014	5	0,18	6,01	0,12	[46]
	Or	30	2017	3	n/A	n/A	0,6	[47]
	Or	20	2020	na	na	na	2,5	[48]
	Or	40	2014	3	0,9	10,6	5	[49]
ZEN	Or	25	2017	3	0,16	6.2	0,07	[50]
	Or	17	2020	5	0,09	4.9	0,25	[51]
	Argent	n / A	2018	3	n/A	n/A	0,25	[52]
	Argent	15	2018	dix	0,22	4,85	0,58	[53]
	Carbone	190	2016	3	0,05	3,79	12	[54]
T-2	Or	n/A	2019	2	n/A	n/A	0,08	[55]
	Or	30	2017	3	n/A	n / A	0,1	[56]
	Argent	n / A	2015	n/A	n/A	n/A	0,9	[57]
	Argent	45	2017	n/A	n/A	n/A		[58]
	Carbone	120	2017	n/A	n/A	n/A	5 13	[59]

Remarque: na signifie sans objet/inconnu.

### 3. Résultats

Le tableau 1 présente une ventilation de l'analyse des 25 articles évalués par des pairs identifiés, selon l'espèce de mycotoxine, la nanoparticule utilisée et la taille des nanoparticules, répliques et, le cas échéant, la LOD signalée.

Les plages des limites de détection sont représentées sur la figure 2, selon (a) différents mycotoxines et (b) différentes ICST à base de nanoparticules, dans le but d'élucider lesquelles l'un d'eux a généralement une limite de détection basse. La figure 2a indique que 40 % des articles s'est concentré sur l'Aflatoxine B1, qui est la mycotoxine la plus étudiée. 20% supplémentaires des articles portaient sur la Fumonisine B1, 20 % des articles portaient sur la Zéaralénone et 20 % des les articles portaient sur le Trichothécène-A. La figure 2b indique que les nanoparticules d'or sont les nanoparticule la plus fréquemment étudiée dans la littérature examinée.

La figure 3 présente la chronologie de la LOD pour (a) quatre mycotoxines et (b) le type de nanoparticules, dans les 25 articles de 2006 à 2021. Les graphiques de la figure 3 montrent un effet positif tendance dans le temps, avec un pic en 2017 pour les deux paramètres. Les résultats indiquent que, même si il y a eu un intérêt croissant pour la détection des mycotoxines au fil des années 2006 à 2021, la LOD n'a pas diminué de manière significative au cours de la période. Nanoparticules à base d'or ont été les plus populaires dès le départ. Il y a notamment eu un intérêt accru pour matériaux alternatifs ces dernières années, même s'ils n'ont pas produit d'impact significatif réduction de la LOD.

Anni Anniication Nano, Nano/0222022 3 POUR EXAMEN PAR LES PAIRS

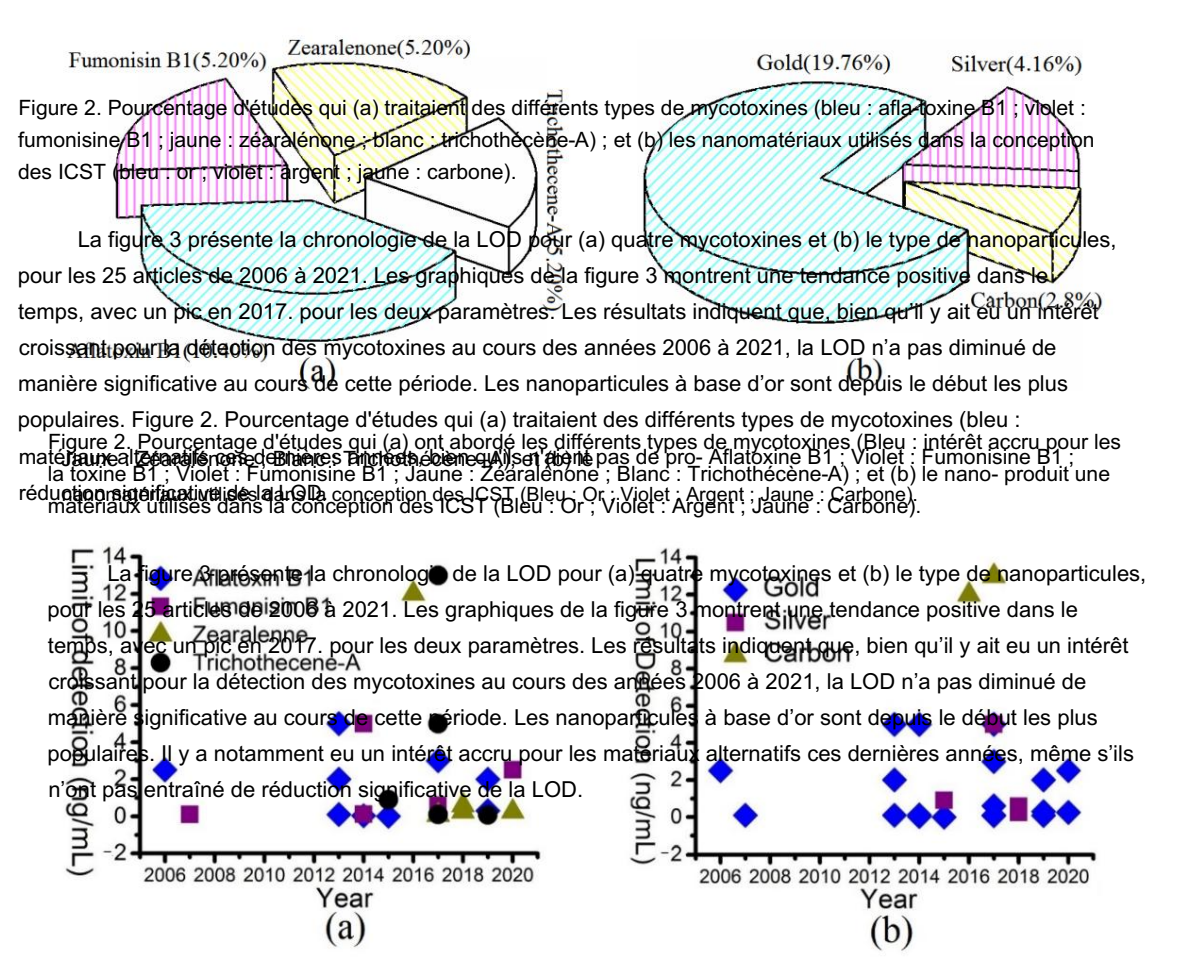


Figure 3. Chronologie de la limite de détection des mycotoxines et des matériaux constitués de nanoparticules. (un autre Différentes novcotoxines et des matériaux constitués de nanoparticules. (un autre pur l'étre de la limite de détection des mycotoxines et des matériaux constitués de nanoparticules. (un autre pur l'étre et le l'étre de la limite de détection des mycotoxines et des matériaux constitués de nanoparticules. (un autre pur l'étre et l'étre

La figure 4a présente la dépendance de la LOD sur la taille des nanoparticules dans les 19 articles La figure 4a présente la dépendance de la LOD sur la taille des nanoparticules sur 19 pa pour quatre mycotoxines. La figure 4b présente la dépendance de la LOD sur la taille des différences pour quatre mycotoxines. La figure 4b présente la dépendance de la LOD sur la taille des différences pour quatre mycotoxines. La figure 4b présente la dépendance de la LOD en fonction de la taille du type de nanoparticule concerné dans les 19 articles. On peut voir que les données concernent différents types de nanoparticule dans les 19 articles. On peut voir que les données concernent différents types de nanoparticules dans line piage de tailles de particules dans la la LOD principalement regroupés dans une piage de la figure 4b indique de voir sur la LOD principalement de la limite de détection des mycotoxines et des matériaux constitués de nanoparticules (a) mycotoxines (losange bleu : aflatoxine B1 ; carré violet : fumonisine B1 ; triangle vert : Zearaure 4b indique que ces valeus es sont dues aux performances relativement moins bonnes des dispositifs à base de nanoparticules lénone; Cercle noir : Trichothécène-A) (b) Différents matériaux de nanoparticules (diamant bleu : or ; dispositifs à base de nanoparticules présente la LOD moyenne de différents types de mycotoxines. Normalement, le Carré violet : Argent ; Triangle vert : Carbone).

La LOD est la plus faible pour les nanoparticules d'or, suivie par l'argent et la plus élevée.

la LOD moyenne des bandes concerne les ICST à base de carbone. Limites de l'UE pour l'aflatoxine B1, la fumonisine B1, La figure 4a présente la dépendance de la LOD sur la taille des nanoparticules sur les 19 pa-Zéaralenone et l'richothècene-A sont respectivement de 5,500, 100,25 ng/mL [11]. La totalité de la pers pour quatre mycotoxines. La figure 4b présente la dépendance de la LOD par rapport à la taille des LOD dans ce document de synthèse, qui est bien inférieure aux limites de l'UE. différents types de nanoparticules dans les 19 articles. On peut voir que les données sont principalement regroupées dans une plage de tailles de particules allant de 15 nm à 45 nm et de LOD de 0,1 à 5 ng/mL. Bien que la figure 4b indique deux mesures aberrantes pour la zéara-lénone et le trichothécène-A, d'autres mesures de celles-ci relèvent du groupe, et la figure 4b indique que ces valeurs aberrantes sont dues aux performances relativement médiocres des dispositifs à base de nanoparticules de carbone.

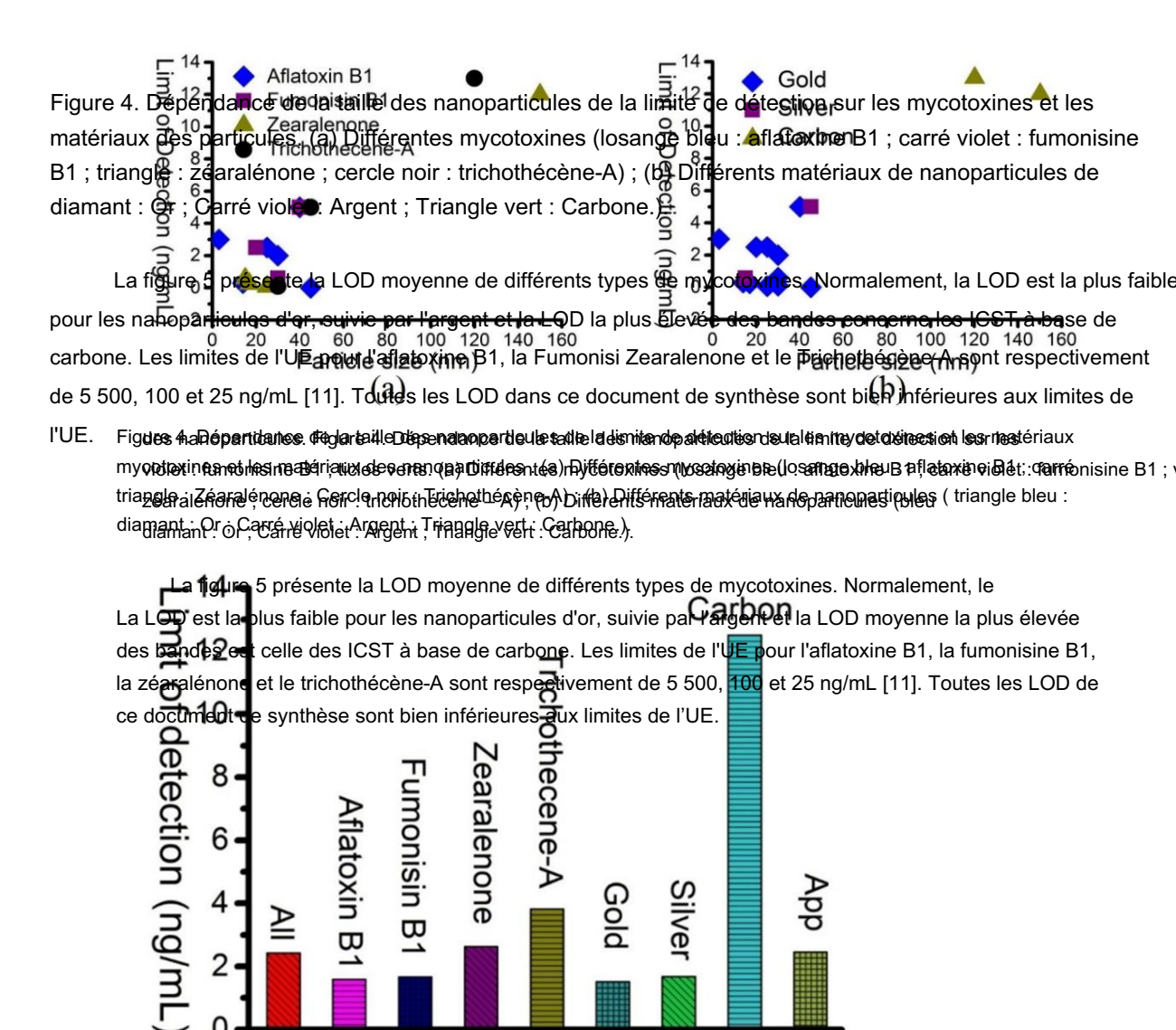


Figure 5. Limites moyennes de détection des bandelettes de différents types de mycotoxines.

Figure 5. Limites may ennande détection des hands de tende différents by sor de talve des parsoules et les réplications, My-cotoxine, Nanoparticle et Phone ont été analysées par ANOVA à trois voies. De ces put qui variables dure seule variables (nanoparticules) contribus de tampière partificative et réplications, M-(p = 1,75 × 10-7). Les résultats de l'ANOVA avec une technique non paramétrique (Kruskal — Wallis la toxine, les nanoparticules et le téléphone ont été analysés par ANOVA à trois voies de partir de ces tests de somme variables, una gant explication des bandelettes de différents types de mycotoxines.

Variables, una gant de variable (Handpartique) exclusive de manière significative et groupes de variables, l'or et détection des bandelettes de différents types de mycotoxines.

Vallis se situe entre les groupes de nanoparticules d'or et les groupes de nanoparticules sans or test de somma de la maniferation de la companion de la companio

Il n'y a aut when the production of the control of

de particule lors de la prédiction de la LOD (R2 = 0, type de nanoparticule, taille des particules, année de publication et réplication. La régression linéaire avait un R2 = 0,866, une taille de particule lors de la prédiction de la LOD (R2 = 0,904) et un type de particule lors de la prédiction de la LOD (R2 = 0,901).

#### 4. Discussion

La figure 2a illustre les aflatoxines B1 les plus mentionnées. Il s'agissait de la fumonisine B1, de la zéaralénone et du trichothécène-A, par ordre décroissant. Les nanoparticules d'or sont le matériau le plus étudié, comparé à l'argent et au carbone (Figure 2).

Les résultats indiquent qu'il y a eu un intérêt croissant pour la détection des mycotoxines par ICST au cours des années 2006 à 2021 (Figure 3). Cet intérêt croissant est peut-être dû au développement des nanotechnologies dans le contrôle de la qualité des aliments stockés [60].

97

La majorité des articles à faible LOD impliquaient des nanoparticules d'or (Tableau 1). De plus, la LOD moyenne de l'or est bien inférieure à celle des dispositifs à base de nanoparticules d'argent et de carbone. Il ressort facilement des figures 4a et b que les tailles de la plupart des nanoparticules sont comprises entre 15 et 45 nm et que leurs LOD sont relativement faibles. La gamme de tailles de nanoparticules la plus populaire pour la détection des mycotoxines est celle des nanoparticules d'or comprises entre 15 et 45 nm (Figure 4). L'analyse statistique montre que la taille des particules est le déterminant le plus important de la LOD (R2 = 0,904), le second étant le type de particule. La taille des nanoparticules d'or et le rapport anticorps/nanoparticules d'or peuvent être contrôlés avec précision. Dans le même temps, leur faible toxicité a été confirmée dans les cellules humaines et les champignons [61-63]. De plus, les ions argent se sont révélés toxiques pour le poisson zèbre, les bactéries et les cellules souches de souris [62-67]. Par conséquent, les nanonanoparticules d'or constituent un meilleur choix pour les applications de bandelettes de test immunochromatographiques.

On constate également que la LOD de l'aflatoxine B1 est bien inférieure aux valeurs atteintes pour la fumonisine B1, la zéaralénone et la trichothécène-A. Cependant, les valeurs moyennes de la zéaralénone et du trichothécène-A sont significativement influencées par les mesures basées sur les nanoparticules de carbone (Figure 4a). Le type de mycotoxine n'est pas un déterminant important de la LOD (p = 0,118). Les niveaux maximaux recommandés d'aflatoxine B1, de fumonisine B1, de zéaralénone et de trichothécène-A dans les aliments pour animaux par les réglementations CE sont respectivement de 5, 500, 100 et 25 ng/mL, et les valeurs déclarées pour la LOD des ICST se situent dans ces limites.

Cette revue montre également que la LOD avec les systèmes de lecture basés sur smartphone est similaire à celle obtenue avec d'autres moyens (p = 0,153), bien que les données disponibles à ce jour soient rares. L' application pour smartphone est une méthode prometteuse utilisée dans la détection de la concentration quantitative de mycotoxines par bande immunochromatographique à flux latéral, et son développement croissant fournira suffisamment de données dans la littérature pour comparer l'efficacité de la détection.

Les données présentées dans cet article datent de 2006 à 2021, mais la majorité date de 2013 à 2021. Les figures 3a et b montrent que la LOD des mycotoxines n'a pas diminué de manière continue au cours des dernières années. L'année n'est donc pas un déterminant de la LOD (p = 0,153).

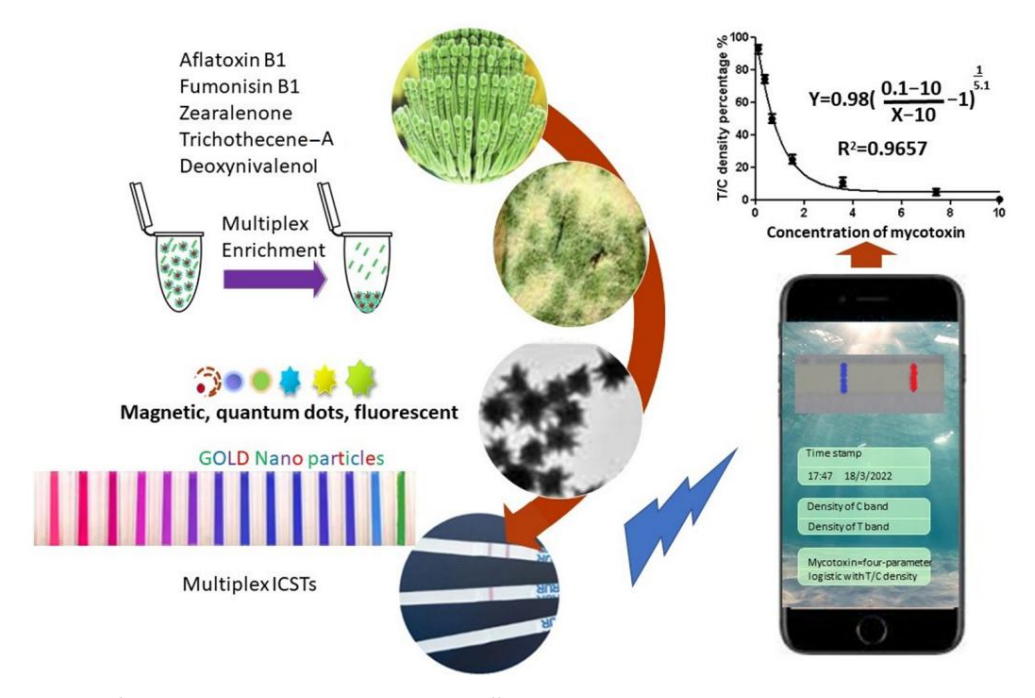
De plus, la réduction de la LOD n'est peut-être pas le seul objectif, car les LOD indiquées dans ce document de synthèse sont toutes conformes aux exigences de l'UE. Il est important de caractériser pleinement les performances analytiques d'une détection fiable des mycotoxines afin de comprendre sa capacité et ses limites, et de garantir qu'elle est « adaptée à son objectif ». Par exemple, la LOD peut très bien se situer à une certaine concentration inférieure à la plage linéaire d'un test. Une approche traditionnelle et typique pour estimer la LOD consiste à mesurer des répétitions, généralement n = 20, d'un calibrateur zéro ou d'un échantillon blanc, à déterminer la valeur moyenne et l'écart-type, et à calculer la LOD comme la moyenne +2 SD [68]. Pour établir ces paramètres, un fabricant utiliserait des nanoparticules d'or d'une taille comprise entre 15 nm et 45 nm et testerait 20 répétitions d'échantillons pour augmenter la robustesse et la confiance statistique de l'estimation.

La matrice d'échantillon complexe peut fortement supprimer le signal de réponse ICST, au détriment des performances analytiques [69]. Pour répondre à ces limitations et défis, enrichir les échantillons et améliorer les tests, les mycotoxines peuvent être bioconjuguées avec des nanostructures multimodales pour le traitement des échantillons (70–72). Les analytes présents dans un échantillon peuvent être préconcentrés et/ou amplifiés pour améliorer la limite de détection [69]. Différentes bandelettes uniques de mycotoxines ont été commercialisées. Il est souvent observé que différentes mycotoxines coexistent dans un même échantillon. La détection multiplexée ajoute une nouvelle dimension pour augmenter l' efficacité des tests de mycotoxines [73]. Les matériaux actifs tels que les particules magnétiques, les points quantiques, les fluorophores et les nanoparticules peuvent être conjugués avec des anticorps pour améliorer les réponses ICST (64).

des bandes simples ont été commercialisées. Il est souvent observé que différentes mycotoxines coexistent dans un même échantillon. La détection multiplexée ajoute une nouvelle dimension pour augmenter l'efficacité des tests de mycotoxines [73]. Matériaux actifs tels que particules magnétiques, quantiques 98 les points, les fluorophores et les nanoparticules peuvent être conjugués avec des anticorps pour améliorer les

réponses ICST (64).

Un aperçu schématique de la stratégie de mesure de divers types de mycotoxines us- Un aperçu schématique de la stratégie de mesure de divers types de mycotoxines in de prichissement multiplex pour échantillons, diverses nanoparticules à base de bandes à flux laminaire utilisant un enrichissement multiplex pour échantillons, diverses nanoparticules à base de bandes à flux laminaire et l'utilisation d'une lecture sur smartphone est illustrée à justifier à le lieure de le suggere des stratégies telles que ; (i) les bandes et l'utilisation d'une lecture sur smartphone est illustrée à la figure 6. Elle suggere des stratégies telles que ; (i) les bandes et l'utilisation de lecture sur smartphone est illustrée à la figure 6. Elle suggere des stratégies telles que ; (ii) les contre les mycotoxines pour enrichir le con-citation de nanoparticules multimodales conjuguées à des anticorps contre les mycotoxines pour enrichir en concentration des mycotoxines dans les échantillons ; (ii) l'utilisation de divers marqueurs (par exemple, patie magnétique) clas contre les mycotoxines dans les échantillons ; (ii) l'utilisation de divers marqueurs (par exemple, patie magnétique) clas contre les mycotoxines dans les échantillons ; (ii) l'utilisation de divers marqueurs (par exemple, patie magnétique) clas contre les mycotoxines pour enrichir en partie magnétique) clas contre les mycotoxines de les marqueurs (par exemple, patie magnétique) clas contre les mycotoxines pour enrichir les sur patie magnétique) clas contre les mycotoxines pour enrichir les sur patie magnétique) clas contre les mycotoxines pour enrichir les sur patie magnétique) clas contre les mycotoxines pour enrichir les sur patie magnétique) clas contre les mycotoxines pour enrichir les sur patie magnétique en la figure de les mycotoxines pour enrichir le contre les mycotoxines pour enrichir les contre des mycotoxines pour enrichir les contre les m



FireHitiplex of the chandle of the change of

### 5. Conclusions

Contributions des autours: Connepholisiation XXXI ETFT of hordologic X; XXI deligible Formency Connepholisiation XXI ETFT of hordologic X; XXI deligible Formency Connepholisiation XXI deligible Formency Connepholisia XXI deligible Fo

Financement : Cette recherche a été financée par le Researcher Award de l'école postuniversitaire de TU Dublin.

Déclaration du comité d'examen institutionnel : sans objet.

Appl. Nano 2022. 3 99

Déclaration de consentement éclairé : sans objet

Déclaration de disponibilité des données : Cette étude n'a rapporté aucune donnée.

Conflits d'intérêts : Les auteurs ne déclarent aucun conflit d'intérêts.

#### Les références

- 1. Kumar, P.; Mahato, Danemark; Kamlé, M.; Mohanta, savoirs traditionnels; Kang, SG Aflatoxines: Une préoccupation mondiale pour la sécurité alimentaire, la santé humaine et Leur gestion. Devant. Microbiol. 2017, 7, 2170. [Réf. croisée] [Pub Med]
- 2. Borzekowski, A.; Anggriawan, R.; Auliyati, M.; Kunte, H.-J.; Koch, M.; Rohn, S.; Karlovsky, P.; Maul, R. Formation de zéaralénone Métabolites dans la fermentation du tempeh. Molécules 2019, 24, 2697. [CrossRef] [Pub Med]
- Rogowska, A.; Pomastowski, P.; Sagandykova, G.; Buszewski, B. Zearalenone et ses métabolites: effet sur la santé humaine, méthodes de métabolisme et de neutralisation. Toxicon 2019, 162, 46-56. [Référence croisée] [Pub Med]
- 4. Périncheris, L.; Lalak-Ka 'nczugowska, J.; St epie 'n, L. Mycotoxines produites par Fusarium dans les interactions plantes-pathogènes. Toxines 2019, 11, 664. [CrossRef]
- 5. Yu, S.; Jia, B.; Liu, N.; Yu, D.; Wu, A. Évaluation de la toxicité individuelle et combinée des mycotoxines fumonisines dans les cellules épithéliales gastriques humaines .

  Int. J. Mol. Sci. 2020. 21. 5917. [Réf. croisée]
- 6. Adhikari, M.; Négi, B.; Kaushik, N.; Adhikari, A.; Al-Khedhairy, AA; Kaushik, NK; Choi, Mycotoxine EH T-2: effets toxicologiques et stratégies de décontamination. Oncotarget 2017. 8. 33933-33952. [Référence croisée]
- 7. Delmulle, BS; De Saeger, SM; Sibanda, L.; Barna-Vétro, I.; Van Peteghem, CH Développement d'une bandelette à flux latéral basée sur un test immunologique pour la détection rapide de l'aflatoxine B1 dans l'alimentation des porcs. J. Agric. Chimie alimentaire. 2005, 53, 3364-3368. [Référence croisée]
- 8. Soleil, K.; Jian, F.; Jayas, DS; Blanc, NDG Changements de qualité du canola à haute et faible teneur en huile pendant l'entreposage : Partie I Durée d'entreposage sécuritaire à des températures constantes. J. Produit stocké. Rés. 2014. 59. 320-327. [Référence croisée]
- 9. Navarro, JL; Biglione, C.; Paesani, C.; Moiraghi, M.; Léon, AE; Steffolani, ME Effet du processus de perlage du blé sur la composition et le profil nutritionnel de la farine et ses performances panifiables. Int. J. Food Sci. 2022, 57, 249-257. [Référence croisée]
- 10. Anfossi, L.; Baggiani, C. Tests immunologiques à flux latéral pour les aflatoxines B et G et pour l'aflatoxine M1. Dans Aflatoxines-Progrès récents et perspectives d'avenir; Razzaghi-Abyaneh, M., éd.; InTech: Rijeka, Croatie, 2013; Volume 15, pages 315 à 340.
- 11. Commission européenne. Règlement de la Commission européenne n° 1881/2006 fixant des limites maximales pour certains contaminants dans denrées alimentaires. Désactivé. J.Eur. Union 2006, 364, 5-24.
- 12. Commission européenne. Recommandation 2006/576/CE de la Commission européenne relative à la présence de désoxynivalénol, de zéaralénone, d'ochratoxine A, T–2 et HT–2 et de fumonisines dans les produits destinés à l'alimentation animale. Désactivé. J.Eur. Union 2006, 229, 7-9.
- 13. Liu, J.; Applegate, T. Zearalenone (ZEN) chez le bétail et la volaille : dose, toxicocinétique, toxicité et œstrogénicité. Toxines 2020, 12, 377. [Référence croisée]
- 14. Bertuzzi, T.; Camardo Leggieri, M.; Battilani, P.; Pietri, A. Cooccurrence de trichothécènes de types A et B et de zéaralénone dans le blé cultivé dans le nord de l'Italie au cours des années 2009-2011. Additif alimentaire. Contam. Partie B 2014, 7, 273-281. [Référence croisée] [Pub Med]
- 15. Tan, DC; Flematti, GR; Ghisalberti, EL; Sivasithamparam, K.; Chakraborty, S.; Obanor, F.; Barbetti, MJ Mycotoxines produites par les espèces de Fusarium associées aux pâturages de légumineuses annuelles et aux « troubles du refus alimentaire des moutons » en Australie occidentale. Mycotoxine Res. 2011, 27, 123-135. [Référence croisée]
- 16. Radoi, A.; Targa, M.; Prieto-Simon, B.; Marty, JL Test immuno-enzymatique (ELISA) basé sur des méthodes superparamagnétiques nanoparticules pour la détection de l'aflatoxine M1. Talante 2008, 77, 138-143. [Référence croisée]
- 17. Sajid, M.; Kawde, A.-N.; Daud, M. Conceptions, formats et applications du test à flux latéral : une revue de la littérature. J. Saudi Chem. Soc. 2015, 19, 689-705. [Référence croisée]
- 18. Zhang, J.; Ramu, V.; Zhou, X.-Q.; Frias, C.; Ruiz-Molina, D.; Bonnet, S.; Roscini, C.; Novio, F. Nanoparticules polymères de coordination photoactivables à base de ruthénium pour la chimiothérapie induite par la lumière. Nanomatériaux 2021, 11, 3089. [CrossRef] [Pub Med]
- 19. Huang, Y.; Du, Z.; Zheng, T.; Jing, W.; Liu, H.; Liu, X.; Mao, J.; Zhang, X.; Cai, Q.; Chen, D.; et coll. Microéchafaudages polyorganophosphazènes antibactériens, conducteurs et ostéocompatibles pour la réparation des anomalies calvariales infectieuses. J. Bioméd. Maître. Rés. A. 2021, 109, 2580-2596. [Référence croisée]
- 20. Khaled, MQ; Thalij, KM Effet du maïs contaminé par l'aflatoxine B1 et de leurs produits sur certains paramètres physiologiques chez les rats de laboratoire. Dans Série de conférences IOP: Sciences de la Terre et de l'environnement, Actes de la quatrième Conférence internationale sur les sciences de l'agriculture et du développement durable, Babil, Irak, 4-5 octobre 2021; Éditions IOP: Bristol, Royaume-Uni, 2021; Tome 910.
- 21. Mayo, ML; Eberly, JO; Crocker, FH; Indest, KJ Modélisation d'un biocapteur riboswitch synthétique à base d'aptamère sensible aux faibles Concentrations d'hexahydro-1,3,5-trinitro-1,3,5-triazine (RDX). PLoS ONE 2020, 15, e0241664. [Référence croisée]
- 22. Cordeiro, MF; Nunes, TRS; Bezerra, FG; Damasco, PKM; Silva, WAV; Ferreira, MRA; Magalhães, OMC; Soares, LAL; Cavalcanti, FMI; Pitta, MGR; et coll. Caractérisation phytochimique et activités biologiques de Plectranthus barbatus Andrews.

  Braz. J. Biol. 2021, 82, e236297. [Référence croisée]
- 23. Heuer, C.; Bahnemann, J.; Scheper, T.; Segal, E. Ouvrir la voie pour vaincre la résistance aux médicaments antifongiques : pratiques actuelles et nouveaux développements pour des tests de sensibilité aux antifongiques rapides et fiables. Petites méthodes 2021, 5, 2100713. [CrossRef]
- 24. Knoppers, T.; Beauchamp, E.; Dewar, K.; Kimmins, S.; Bourque, G.; Joly, Y.; Dupras, C. Les omiques de nos vies: pratiques et politiques des sociétés de tests épigénétiques et microbiologiques s'adressant directement aux consommateurs. Nouveau Genet. Soc. 2021, 40, 541-569. [Référence croisée]

25. Cheraghi-Shahi, S.; Dadmehr, M.; Korouzhdehi, B.; Tavassoli, A. Un nouveau biocapteur colorimétrique pour la détection sensible de l'aflatoxine médiée par une réaction enzymatique bactérienne dans des échantillons de safran. Nanotechnologie 2021, 32, 505503. [CrossRef]

100

- 26. Nesakumar, N.; Lakshmanakumar, M.; Srinivasan, S.; Jayalatha, JBB; Balaguru-Rayappan, principes JBA et avancées récentes dans Biocapteurs pour la détection d'agents pathogènes. ChimieSelect 2021, 6, 10063-10091. [Référence croisée]
- 27. Hao, Z.; Chen, H.; Shi, X.; Tan, W.; Zhu, G. Fabrication de dispositifs d'analyse microfluidique sur papier et d'applications d'analyse de la salive. Microfluide. Nanofluide. 2021, 25, 80. [Réf. croisée]
- 28. Chang, CC-C.; Chen, C.-P.; Wu, TH; Yang, CH; Lin, C.-W.; Chen, C.-Y. Stratégies colorimétriques basées sur les nanoparticules d'or pour Applications de détection chimique et biologique. Nanomatériaux 2019, 9, 861. [CrossRef]
- 29. Cardoso, S.; Leitao, DC; Dias, TM; Valadeiro, J.; Silva, MD; Chicharo, A.; Silvério, V.; Gaspar, J.; Freitas, PP Défis et tendances de l'intégration des capteurs magnétiques avec la microfluidique pour les applications biomédicales. J. Phys. D Appl. Phys. 2017, 50, 213001.
- 30. Sarver, RW; Almy, DJ; Bergeron, ER; Fort, BF; Steiner, BA; Donofrio, R.; Lupo, AJ; Gray, RL; Sperry, AK Présentation des tests portables pour la détection des mycotoxines, des allergènes et la surveillance de l'assainissement. J. AOAC Int. 2021, 104, 39-48. [Référence croisée]
- 31. Mak, AC; Osterfeld, SJ; Yu, H.; Wang, SX; Davis, RW; Jejelowo, OA; Pourmand, N. Sensible à base magnétorésistive géante test immunologique pour la détection multiplex des mycotoxines. Biosens. Bioélectron. 2010, 25, 1635-1639. [Référence croisée]
- 32. Liao, J.; Li, H. Immunodipstick à flux latéral pour la détection visuelle de l'aflatoxine B1 dans les aliments à l'aide d'immuno-nanoparticules composées de un noyau en argent et une coque en or. Microchim. Acta 2010, 171, 289-295. [Référence croisée]
- 33. Tittlemier, SA; Cramer, B.; Dall'Asta, C.; DeRosa, MC; Lattanzio, VMT; Malone, R.; Maragos, C.; Stranska, M.; Sumarah, MW

  Développements dans l'analyse des mycotoxines : une mise à jour pour 2020-2021. Mycotoxine mondiale J. 2022, 15, 3–25. [Référence croisée]
- 34. Lu, W.; Wang, K.; Xiao, K.; Qin, W.; Hou, Y.; Xu, H.; Yan, X.; Chen, Y.; Cui, D.; He, J. Bandelette de test à flux latéral à base de nanobilles immunomagnétiques doubles pour la détection quantitative simultanée de l'antigène carcinoembryonnaire et de l'énolase spécifique des neurones. Sci.

  Rapport 2017, 7, 42414. [CrossRef]
- 35. Ngom, B.; Guo, Y.; Wang, X.; Bi, D. Développement et application de la technologie des bandelettes de test à flux latéral pour la détection des maladies infectieuses agents et contaminants chimiques: une revue. Anal. Bioanal. Chimique. 2010, 397, 1113-1135. [Référence croisée]
- 36. Sojinrin, T.; Liu, K.; Wang, K.; Cui, D.; Bryne, HJ; Curtin, JF; Tian, F. Développement de l'aflatoxine B1 conjuguée à des nanoparticules d'or Bandes antifongiques. Int. J. Mol. Sci. 2019, 20, 6260. [Réf. croisée]
- 37. Ji, Y.; Ren, M.; Li, Y.; Huang, Z.; Shu, M.; Yang, H.; Xiong, Y.; Xu, Y. Détection de l'aflatoxine B1 avec test immunochromatographique bandes: sensibilité du signal améliorée grâce à des nanofleurs dorées. Talante 2015, 142, 206-212. [Référence croisée]
- 38. Ouroussov, A.; Zherdev, AV; Dzantiev, BB Utilisation d'anticorps secondaires marqués aux nanoparticules d'or pour améliorer la sensibilité d'un dosage immunochromatographique pour l'aflatoxine B1. Microchim. Acta 2014, 181, 1939-1946. [Référence croisée]
- 39. Di-Nardo, F.; Alladio, E.; Baggiani, C.; Cavalera, S.; Giovannoli, C.; Spano, G.; Anfossi, L. Test immunologique à flux latéral codé par couleur pour la détection simultanée de l'aflatoxine B1 et des fumonisines de type B dans une seule ligne de test. Talante 2019, 192, 288-294.
- 40. Xiulan, S.; Xiaolian, Z.; Jian, T.; Xiaohong, G.; juin, Z.; Chu, FS Développement d'un test immunochromatographique pour la détection d'aflatoxine B1 dans les aliments. Contrôle alimentaire 2006, 17, 256-262. [Référence croisée]
- 41. Liu, B.-H.; Hsu, Y.-T.; Lu, CC-C.; Yu, F.-Y. Détection de l'aflatoxine B1 dans les denrées alimentaires et les aliments pour animaux à l'aide d' un test immuno-enzymatique rapide et sensible et d'une bande immunochromatographique de nanoparticules d'or. Contrôle alimentaire 2013, 30, 184-189. [Référence croisée]
- 42. Zheng, Q.; Wu, H.; Jiang, H.; Yang, J.; Gao, Y. Développement d'un test immunochromatographique fluorescent basé sur un smartphone Lecteur de bandes. Capteurs 2020. 20. 4521. [CrossRef]
- 43. Li, X.; Yang, F.; Wong, JXH; Yu, système intégré de puce d'application pour smartphone HZ pour la quantification colorimétrique des aflatoxines au niveau des parties par milliard sur site. Anal. Chimique. 2017, 89, 8908-8916. [Référence croisée] [Pub Med]
- 44. Lee, S.; Kim, G.; Moon, J. Amélioration des performances du test immunologique à flux latéral à un point pour l'aflatoxine B1 en utilisant un système de lecture sur smartphone. Capteurs 2013, 13, 5109-5116. [Référence croisée] [Pub Med]
- 45. Kawashima, LM; Vieira, AP; Soares, LMV Fumonisine B1 et ochratoxine A dans les bières fabriquées au Brésil. Science alimentaire. Technologie. 2007, 27, 317-323. [Référence croisée]
- 46. Wang, Z.; Li, H.; Li, C.; Yu, Q.; Shen, J.; De-Saeger, S. Développement et application d'un test immunochromatographique quantitatif basé sur la fluorescence pour la fumonisine B1 dans le maïs. J. Agric. Chimie alimentaire. 2014, 62, 6294-6298. [Référence croisée]
- 47. Ren, W.; Xu, Y.; Huang, Z.; Li, Y.; Tu, Z.; Zou, L.; Lui, Q.; Fu, J.; Liu, S.; Hammock, BD Bandelette immunochromatographique à base d'anticorps à fragment variable à chaîne unique pour la détection rapide de la fumonisine B1 dans les échantillons de maïs. Chimie alimentaire. 2020, 319, 126546.
- 48. Venkataramana, M.; Navya, K.; Chandranayaka, S.; Priyanka, SR; Murali, HS; Batra, HV Développement et validation d'un test immunochromatographique pour la détection rapide de fumonisine B1 à partir d'échantillons de céréales. J. Food Sci. Technologie. 2014, 51, 1920-1928.
- 49. Tang, X.; Lèvre.; Zhang, Q.; Zhang, Z.; Zhang, W.; Jiang, J. Test immunochromatographique par fluorescence résolu dans le temps développé à l'aide de deux nanocorps idiotypiques pour la détection rapide, quantitative et simultanée de l'aflatoxine et de la zéaralénone dans le maïs et ses produits. Anal. Chimique. 2017, 89, 11520-11528. [Référence croisée]
- 50. Hong, X.; Mao, Y.; Yang, C.; Liu, Z.; Li, M.; Du, D. Contamination de la Zéaralénone en provenance de Chine en 2019 par un visuel et numérisé
  Test immunochromatographique. Toxines 2020, 12, 521. [CrossRef]

101

- 51. Wang, D.; Zhang, Z.; Zhang, Q.; Wang, Z.; Zhang, W.; Yu, L.; Li, H.; Jiang, J.; Li, P. Test immunochromatographique rapide et sensible à double étiquette pour la détection de la zéaralénone dans les céréales. Électrophorèse 2018, 39, 2125-2130. [Référence croisée]
- 52. Zhang, X.; Lui, K.; Croc, Y.; Cao, T.; Paudyal, N.; Zhang, XF; Chanson, HH; Li, XL; Fang, WH Test immunochromatographique à double flux pour la détection quantitative rapide et simultanée de l'ochratoxine A et de la zéaralénone dans des échantillons de maïs, de blé et d'aliments pour animaux. J.

  Université du Zhejiang. Sci. B 2018, 19, 871-883. [Référence croisée]
- 53. Soleil, Y.; Xing, G.; Yang, J.; Wang, F.; Deng, R.; Zhang, G.; Hu, X.; Zhang, Y. Développement d'une bandelette de test immunochromatographique pour la détection qualitative et quantitative simultanée de l'ochratoxine A et de la zéaralénone dans les céréales. J. Sci. Agriculture alimentaire. 2016, 96, 3673-3678. [Référence croisée]
- 54. Qie, Z.; Shi, J.; Yan, W.; Gao, Z.; Meng, W.; Xiao, R.; Wang, S. Test immunochromatographique pour la toxine T-2 basé sur la luminescence perles à points quantiques. RSC Adv. 2019, 9, 38697-38702. [Référence croisée]
- 55. Ouroussov, AE; Petrakova, AV; Bartosh, AV; Gubaydullina, MK; Zherdev, AV; Dzantiev, BB Test immunochromatographique de Toxine T-2 à l'aide d'anticorps anti-espèces marqués. Appl. Biochimie. 2017, 53, 594-599. [Référence croisée]
- 56. Petrakova, AV; Ouroussov, AE; Vozniak, MV; Zherdev, AV; Dzantiev, BB Système de test immunochromatographique pour la détection de la toxine T-2. Appl. Biochimie. 2015, 51, 688-694. [Référence croisée]
- 57. Petrakova, AV; Ouroussov, AE; Gubaydullina, MK; Bartosh, AV; Zherdev, AV; Dzantiev, BB Les anticorps « externes » comme outil le plus simple pour les tests immunochromatographiques sensibles. Talante 2017, 175, 77-81. [Référence croisée]
- 58. Zhang, X.; Yu, X.; Wen, K.; Li, C.; Mujtaba-Mari, G.; Jiang, H.; Shi, W.; Shen, J.; Wang, Z. Tests immunologiques à flux latéral multiplex basés sur des nanoparticules de carbone amorphes pour la détection de trois mycotoxines de Fusarium dans le maïs. J. Agric. Chimie alimentaire. 2017, 65, 8063-8071. [Référence croisée]
- 59. Wang, Z.; Duan, N.; Bon, X.; Wu, S. Biocapteur aptamère électrochimiluminescent pour la détermination de l'ochratoxine A sur une électrode en or modifiée par des nanoparticules d'or utilisant du N-(aminobutyl)-N-éthylisoluminol comme marqueur luminescent. Anal. Bioanal. Chimique.

  2010. 398. 2125-2132. [Référence croiséel
- 60. Nil, SH; Baskar, V.; Selvaraj, D.; Nil, A.; Xiao, J.; Kai, G. Nanotechnologies dans les sciences alimentaires : applications, tendances récentes et perspectives d'avenir. Nano-Micro Lett. 2020. 12. 45. [Réf. croisée]
- 61. Liu, K.; Lui, Z.; Byrne, HJ; Curtin, JF; Tian, F. Étude du rôle de la forme et de la taille des nanoparticules d'or dans leur toxicité pour Champignons. Int. J. Environ. Rés. Santé publique 2018, 15, 998. [CrossRef]
- 62. Tian, F.; Clift, MJ; Casey, A.; Del-Pino, P.; Pélaz, B.; Condé, J.; Byrne, HJ; Rothen-Rutishauser, B.; Estrada, G.; Fuente, JM; et coll.

  Étudier le rôle de la forme sur l'impact biologique des nanoparticules d'or in vitro. Nanomédecine 2015, 10, 2643-2657. [Référence croisée]
- 63. Szulc, J.; Kołodziej, A.; Ruman, T. Spectrométrie de masse par désorp- tion/ionisation laser assistée par surface de cible améliorée par des nanoparticules d'argent/argent/or Les nouvelles méthodes pour une évaluation de la concentration de mycotoxines sur les matériaux de construction.

  Toxines 2021, 13, 45. [CrossRef]
- 64. Anfossi, L.; Di-Nardo, F.; Cavalera, S.; Giovannoli, C.; Spano, G.; Speranskaïa, ES; Goryacheva, IY; Baggiani, C. Un test immunologique à flux latéral pour la détermination simple des mycotoxines de fumonisine basé sur l'extinction de la fluorescence des points quantiques CdSe/ZnS par des nanoparticules d'or et d'argent. Microchim. Acta 2018, 185, 94.

  [CrossRef]
- 65. Asharani, PV; Lianwu, Y.; Gong, Z.; Valiyaveettil, S. Comparaison de la toxicité des nanoparticules d'argent, d'or et de platine dans développer des embryons de poisson zèbre. Nanotoxicologie 2011, 5, 43-54. [Référence croisée]
- 66. Siddiqi, KS; Husen, A.; Rao, RAK Une revue sur la biosynthèse des nanoparticules d'argent et leurs propriétés biocides. J. Nanobiotechnologie . 2018, 16, 14. [Réf. croisée]
- 67. Ahamed, M.; Karns, M.; Goodson, M.; Rowe, J.; Hussein, SM; Schlager, JJ; Hong, Y. Réponse aux dommages de l'ADN à différentes chimies de surface des nanoparticules d'argent dans les cellules de mammifères. Toxicol. Appl. Pharmacol. 2008, 233, 404-410. [Référence croisée]
- 68. Armbruster, DA; Pry, T. Limite du blanc, limite de détection et limite de quantification. Clin. Biochimie. Rév. 2008, 29, S49-S52.
- 69. Liu, Y.; Zhan, L.; Qin, Z.; Saccrison, J.; Bischof, JC Tests à flux latéral ultrasensibles et hautement spécifiques pour le diagnostic au point de service . ACS Nano 2021, 15, 3593-3611. [Référence croisée]
- 70. Soh, JH; Chan, HM; Ying, JY Stratégies pour développer des tests à flux latéral sensibles et spécifiques basés sur des nanoparticules, comme appareil de diagnostic sur le lieu de soins. Nano aujourd'hui 2020, 30, 100831. [CrossRef]
- 71. Nguyen, V.-T.; Chansons.; Parc, S.; Joo, C. Progrès récents dans les méthodes de détection à haute sensibilité pour les analyses à flux latéral sur papier. Biosens. Bioélectron. 2020, 152, 112015. [Réf. croisée]
- 72. Bishop, JD; Hsieh, HV; Gaspérino, DJ; Weigl, BH Amélioration de la sensibilité dans les tests à flux latéral : une perspective systémique. Puce de laboratoire 2019, 19, 2486-2499.

  [Référence croisée]
- 73. Nardo, F.; Chiarello, M.; Cavalera, S.; Baggiani, C.; Anfossi, L. Dix ans d'applications des techniques de dosage immunologique à flux latéral:

  Tendances, défis et perspectives d'avenir. Capteurs 2021, 21, 5185. [CrossRef] [Pub Med]